

بررسی بیان نسبی ژن *BIF-1* در تومور سرطان پستان و بافت های نرمال مجاور با استفاده از Real Time PCR

کثرالله محمدی^۱، مهدیه سلیمی^{*}، سید عبدالحمید انگجی^۱، فروزنده محجویی^۲، طبیه مجیدزاده^۳

۱) گروه ژنتیک، دانشکده علوم زیستی، دانشگاه خوارزمی، کرج، ایران

۲) گروه ژنتیک پزشکی، پژوهشگاه ملی مهندسی ژنتیک و زیست فناوری، تهران، ایران

تاریخ پذیرش: ۹۵/۴/۲۱

تاریخ دریافت: ۹۴/۱۰/۱۹

چکیده

مقدمه: سرطان پستان یک بیماری پیچیده به دلیل چندین تغییر ژنتیکی و اپی ژنتیکی است که نهایتاً به تغییر فرآیند های سلولی از جمله تکثیر، آپوپتوز، آنزیوژن (رگ زایی) و اکتساب یک فنوتیپ تهاجمی منجر می شود. *BAX interacting factor (BIF-1)* که یک ژن سرکوب گر تومور است، در تنظیم خمیدگی های غشای میتوکندری نقش دارد و حاوی دمین BAR است که به واسطه آن با *BAX* تعامل می یابد. هدف از مطالعه حاضر بررسی تفاوت بیان نسبی ژن *BIF-1* در بافت انسانی تومور مبتلایان به سرطان پستان در مقایسه با بافت نرمال اطراف تومور به روش Real-Time PCR می باشد.

مواد و روش ها: این مطالعه مورد شاهدی بر روی ۵۰ نمونه ای حاصل از زنان مبتلا به سرطان پستان و ۵۰ نمونه کنترل نرمال اطراف تومور که در سال ۱۳۹۳ به بیمارستان های میلاد و خاتم الانبیاء مراجعه کرده بودند، انجام شد. بعد از جمع آوری نمونه ها، استخراج RNA از بافت با استفاده از کیت استخراج TriPure RNA Isolation انجام شد. سپس سنتز cDNA از RNA های استخراج شده با استفاده از کیت Revert Aid First strand cDNA synthesis Kit انجام گرفت. در نهایت بیان ژن *BIF-1* در ۵ بافت تومور سرطان پستان و ۵۰ بافت نرمال پستانی با استفاده از تکنیک SYBR Green Real-Time PCR مورد بررسی قرار گرفت.

یافته های پژوهش: نتایج ما نشان داد که ژن *BIF-1* در ۳۴ نمونه (۶۸ درصد) از بافت توموری مبتلایان به سرطان پستان نسبت به بافت نرمال مجاور تومور دچار کاهش بیان می باشد که این اختلاف از منظر آماری معنی دار تلقی می گردد ($P=0.001$). این پایان بودن میانگین بیان در بافت توموری نسبت به بافت نرمال اطراف تومور تایید کننده عملکرد سرکوبگری تومور ژن *BIF-1* است.

بحث و نتیجه گیری: با توجه به کاهش بیان ژن *BIF-1* در بافت های تومور در مقایسه با بافت نرمال پستانی می توان این ژن را به عنوان یک کاندید زیست نشانگر احتمالی مرتبط با سرطان پستان جهت بررسی های آتی معرفی نمود.

واژه های کلیدی: سرطان پستان ، *BIF-1* ، بیان ژن ، Real-Time PCR

* نویسنده مسئول: گروه ژنتیک پزشکی، پژوهشگاه ملی مهندسی ژنتیک و زیست فناوری، تهران، ایران

Email: salimi@nigeb.ac.ir

Copyright © 2017 Journal of Ilam University of Medical Science. This is an open-access article distributed under the terms of the Creative Commons Attribution international 4.0 International License (<https://creativecommons.org/licenses/by-nc/4.0/>) which permits copy and redistribute the material, in any medium or format, provided the original work is properly cited.

مقدمه

پیشافت‌های علمی در پیشگیری از سرطان پستان، تشخیص و درمان هنوز فاقد توانایی موثر در درمان این بیماری مخرب مخصوصاً سرطان سینه از نوع سه گانه منفی یا Triple Negative فاقد هر سه گیرنده استروژن، پروژسترون و فاکتور رشد انسانی اپیدرمال هستند(۷). لذا یافتن راه کارهایی جهت تشخیص زود هنگام، اقدامات پیشگیرانه و روش‌های درمانی مناسب از اهمیت زیادی برخوردار است.

لذا بررسی و شناسایی زیست نشانگرهای مرتبط با مقوله‌های تشخیصی، پیش‌آگهی یا پروگنوز، درمان و یا پیش‌بینی پاسخ به درمان از اهمیت بالایی برخوردار است. در مطالعه حاضر با توجه به عملکرد زن BIF-1 و نقش متصور سرکوب گری تومور آن بیان این زن در بافت توموری و نرمال سرطان پستان مورد بررسی قرار گرفت هدف از این بررسی کاندید نمودن مارکری زیستی مرتبط با سرطان پستان می‌باشد.

مواد و روش‌ها

پنجاه بافت توموری پستان به همراه پنجاه نمونه نرمال مجاور تومور با کسب رضایت نامه کتبی از بیماران و با رعایت قوانین اخلاق در مطالعات تجربی پزشکی Helsinki و تبعیت از دستور العمل‌های مربوطه از بیمارستان‌های میلاد و خاتم الانبیاء دریافت و با رعایت اصول انتقال و نگه داری بافت تازه به پژوهشگاه ملی مهندسی ژنتیک و زیست فناوری انتقال داده شد. روند نمونه گیری با انتقال کرايو تیوب‌ها به تانک حاوی ازت مایع جهت انتقال به پژوهشگاه در مدت زمان کمتر از دو ساعت و نگه داری در فریزر با دمای -۷۰ درجه سانتی گراد ادامه یافت. تمامی دستور العمل‌های اخلاقی بانک‌های زیستی برای نگه داری و استفاده از نمونه‌های انسانی رعایت گردید.

استخراج RNA و سنتز cDNA: جهت استخراج RNA ۵۰-۱۰۰ میلی گرم از هر یک از بافت‌ها بر روی بخش خشک بریده شد و با کوبیدن در هاون چینی با استفاده از ازت مایع به صورت پودر درآمد و در ۱ میلی لیتر از محلول (TriPure Isolation Reagent شرکت Roche) همگن و براساس دستورالعمل شرکت

سرطان پستان معمولاً در لوپول‌ها یا مجرای‌های یک یا هر دو پستان تومور‌های بدخیم ایجاد می‌کند. این سرطان بعد از سرطان ریه معمول‌ترین سرطان و دومین عامل مرگ و میر در زنان در ایالت متحده معروفی شده است (۱). سرطان‌های پستان یک گروه ناهمگن از تومور‌ها هستند که رفتار و پاسخ به درمان متنوع دارند (۲). آمار دقیقی از تعداد مبتلایان به سرطان پستان در ایران وجود ندارد، اما به طور مسلم سرطان پستان، شایع‌ترین نوع سرطان زنان در کشور است (۳). بر اساس مطالعات متعدد، وجود سابقه خانوادگی سرطان سینه و وضعیت فرزند آوری دو عامل مهم تأثیرگذار در بیماران ایرانی بر شمرده شده اند (۴). زن‌ها از یک سو دلیلی برای وقوع سرطان و از سوی دیگر ابزاری برای درمان آن محسوب می‌شوند بنا بر این، اگر واقعی محیطی سبب ایجاد خطا‌هایی در زن‌های کنترل کننده رشد شوند، سلول‌های آسیب دیده ممکن است تکثیر شده و منجر به ایجاد سرطان گردند (۵).

از جمله زن‌های عامل ایجاد سرطان، زن-1 BIF-1 انسانی است که روی کروموزوم ۱p22 واقع شده و غالباً در بسیاری از تومور‌ها حذف شده است (۶). زن BIF-1 انسان، کد کننده یک پلی پپتید ۳۶۵ آمینو اسیدی است که شامل یک دومین (N)-ترمینال BAR (Bin/Amphiphysin/Rvs) که به چربی‌ها متصل شده و سبب انحنای غشاء می‌شود (۷)، یک دومین کویل-کویل مرکزی و یک دومین C (carboxy-terminal) SH3(Src-homology3)-terminal است (۸). دومین SH3، که شامل ۶۰ اسید آمینه است، به توالی غنی از پروولین در بسیاری از پروتئین‌های داخل سلولی متصل می‌شود (۹).

بخش N-ترمینال (۱-۲۷ اسید آمینه) BIF-1، برای اتصال آن به BAX مورد نیاز است. علاوه بر این، تعامل بین BIF-1 و BAX در سلول‌های پستانداران به وسیله یک تغییر ساختاری در پروتئین-1 BIF در طول آپوپتوز افزایش یافته است (۸). از آن جا که سرطان پستان به عنوان دومین سرطان شایع و مهم ترین عامل مرگ و میر ناشی از سرطان در زنان جهان می‌باشد (۷) و

کنترل داخلی و ژن مورد نظر: ژن خانه دار بتا اکتین که به طور معمول در مطالعات بیان ژن در در سرطان پستان استفاده می‌شود، به عنوان کنترل داخلی انتخاب گردید. پایداری بیان آن نرمال کردن بیان ژن BIF-1 مورد بررسی قرار گرفت.

تمامی پرایمرها توسط نرم افزارهای طراحی Primer v.3.05 Generunner و توسط نرم افزار Express 3.0 تأیید شد (جدول ۱).

بازده تکثیر هر پرایمر با استفاده از تهیه‌ی منحنی استاندارد از رقت‌های سریال یک دهم از cDNA استفاده از نرم افزارهای REST, SPSS LinReg (Statistical Package for Social Science IL, USA, V.16, SPSS Inc, Chicago) مورد بررسی قرار گرفت.

سازنده، RNA از بافت‌ها استخراج گردید. حاصله جهت سنجش کیفیت و کمیت به ترتیب درون ژل اگارز ۱ درصد ران شد و کیفیت RNA استحصال شده با بررسی کیفیت دو باند 18S و 28S RNA ریبوزومی (rRNA) مورد بررسی قرار گرفت. سپس کمیت RNA با استفاده از روش کمی طیفسنجی جذبی اشعه ماوراء بنفس با سنجش غلظت و خلوص نمونه RNA استخراج شده مورد بررسی قرار گرفت. غلظت RNA استخراج شده از نمونه‌ها در محدوده ۱000-4000 ng/µl اندازه گیری شد.

۱ میکرو لیتر از این RNA با استفاده از کیت AID First Strand cDNA synthesis kit محصلو شرکت (Fermentase) به cDNA تبدیل گردید.

جدول ۱، مشخصات پرایمرهای استفاده شده در واکنش Time PCR

| پرایمر | | توالی | طول bp | محتوی GC | اندازه محصلو PCR(bp) |
|----------------|---------------------------------|-------|--------|----------|----------------------|
| <i>BIF-1</i> | F:5'CTAGAGGAATCAGCACTACATG3' | ۲۵ | %۴۸ | ۱۷۴ bp | |
| | R:5'AGGTGTCACAGAAGTCTGATTGTTG3' | ۲۵ | %۴۴ | | |
| β -actin | F:5' GAGACCTTCAACACCCCCAGCC 3' | ۲۱ | %۶۱ | 161bp | |
| | R:5' AGACGCAGGATGGCATGGG 3' | ۱۹ | %۶۳ | | |

میزان بیان و وضعیت بیان ژن *BIF-1*

در جدول ۲، میزان بیان ژن *BIF-1* در بافت تومور در مقایسه با میانگین بیان در بافت نرمال مجاور و هم‌چنین وضعیت بیان ژن *BIF-1* در بافت تومور در مقایسه با میانگین بیان در بافت نرمال مجاور آن آمده است.

جدول ۲، مقایسه میزان بیان و وضعیت بیان ژن *BIF-1* در بافت تومور و بافت نرمال مجاور

| ردیف | میزان بیان ژن <i>BIF-1</i> در بافت تومور در مقایسه با میانگین بیان در بافت نرمال مجاور | وضعیت بیان ژن <i>BIF-1</i> در بافت تومور در مقایسه با میانگین بیان در بافت نرمال مجاور | ردیف | میزان بیان ژن <i>BIF-1</i> در بافت تومور در مقایسه با میانگین بیان در بافت نرمال مجاور | وضعیت بیان ژن <i>BIF-1</i> در بافت تومور در مقایسه با میانگین بیان در بافت نرمال مجاور |
|------|--|--|------|--|--|
| | | | | | |
| ۱ | ۰/۱۱ | Down regulation | ۲۶ | ۰/۴۱ | Down regulation |
| ۲ | ۰/۱۲ | Down regulation | ۲۷ | ۰/۶۴ | Normal |
| ۳ | ۰/۰۰۱ | Down regulation | ۲۸ | ۰/۴۱ | Down regulation |
| ۴ | ۰/۴۱ | Down regulation | ۲۹ | ۰/۰۷ | Down regulation |
| ۵ | ۰/۰۰۴ | Down regulation | ۳۰ | ۰/۹۶ | Normal |
| ۶ | ۱/۸۸ | Normal | ۳۱ | ۰/۴۱ | Down regulation |
| ۷ | ۰/۰۰۳ | Down regulation | ۳۲ | ۰/۲۶ | Down regulation |
| ۸ | ۰/۱ | Down regulation | ۳۳ | ۰/۰۰۸ | Down regulation |
| ۹ | ۰/۱۹ | Down regulation | ۳۴ | ۳/۱۴ | Over exp. |
| ۱۰ | ۰/۴۱ | Down regulation | ۳۵ | ۳/۲۱ | Over exp. |
| ۱۱ | ۰/۴۱ | Down regulation | ۳۶ | ۰/۲۶ | Down regulation |
| ۱۲ | ۰/۴۱ | Down regulation | ۳۷ | ۰/۷ | Normal |
| ۱۳ | ۰/۰۷ | Down regulation | ۳۸ | ۰/۶۶ | Normal |
| ۱۴ | ۰/۵۷ | Normal | ۳۹ | ۱/۰۳ | Normal |

| | | | | | |
|----|--------|-----------------|----|-------|-----------------|
| ۱۵ | ۰/۱۹ | Down regulation | ۴۰ | ۰/۱۲ | Down regulation |
| ۱۶ | ۰/۵۹ | Normal | ۴۱ | ۰/۲۵ | Down regulation |
| ۱۷ | ۰/۰۲ | Down regulation | ۴۲ | ۰/۴۱ | Down regulation |
| ۱۸ | ۰/۰۰۰۳ | Down regulation | ۴۳ | ۰/۱ | Down regulation |
| ۱۹ | ۰/۰۲ | Down regulation | ۴۴ | ۰/۴۳ | Down regulation |
| ۲۰ | ۱/۰۰۰۶ | Normal | ۴۵ | ۳/۹۸ | Over exp. |
| ۲۱ | ۰/۰۰۳ | Down regulation | ۴۶ | ۰/۷۸ | Down regulation |
| ۲۲ | ۳/۸۶ | Over exp. | ۴۷ | ۰/۰۰۶ | Down regulation |
| ۲۳ | ۰/۰۷ | Down regulation | ۴۸ | ۰/۰۶ | Down regulation |
| ۲۴ | ۲/۷۴ | Over exp. | ۴۹ | ۰/۲۴ | Down regulation |
| ۲۵ | ۲/۳۹ | Over exp. | ۵۰ | ۱/۴۷ | Normal |

شد(جدول ۳). غلظت نهایی هر یک از پرایمرهای رفت و برگشت ژن‌های *BIF-1* و بتا اکتین ۰/۳ میکرومولا ر بود.

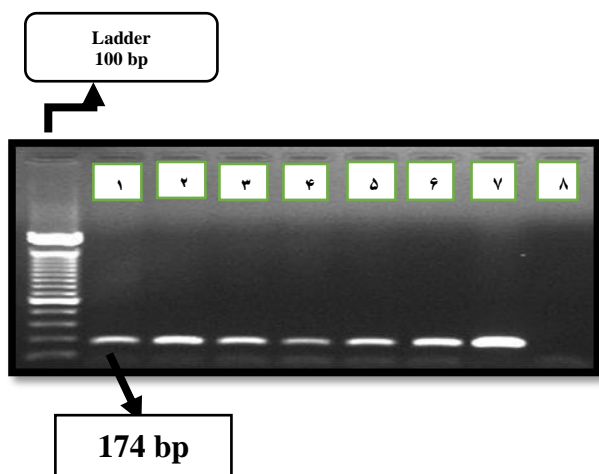
Real Time PCR
واکنش Q RT PCR با استفاده از کیت I SYBR Green I 480 Master mix (Roche Applied Science) شرکت Roche در واکنش‌های ۱۰ میکرولیتری انجام

جدول ۳، برنامه حرارتی مورد استفاده در واکنش‌های Real Time RT-PCR و *BIF-1* برای ژن β -ACTIN

| مرحله | دما | مدت زمان | تعداد چرخه |
|-------------------|-----|----------|------------|
| واسرشه سازی | ۹۵ | ۱۰ | ۱ |
| واسرشه سازی | ۹۵ | ۲۰" | |
| اتصال آغازگرها | ۶۲ | ۱۵" | ۴۰ |
| بسط آغازگرها | ۷۲ | ۱۵" | |
| مرحله تطویل نهایی | ۷۲ | ۵' | ۱ |

۲٪ ارزیابی و صحت اندازه قطعه حاصل از تکثیر توسط نشانگر وزنی M100bp مورد ارزیابی قرار گرفته شد. نتایج تایید تکثیر *BIF-1* در بافت توموری روی ژل آگارز ۰/۲٪ در شکل ۱ به تصویر کشیده شده است.

اندازه گیری میزان فلورسانس توسط دستگاه rotor- corbet gene 6000 ساخت شرکت REST LinReg, ایالیز داده ها توسط نرم افزار های انجام شد. جهت تایید صحت انجام واکنش PCR و تکثیر قطعات، محصول واکنش Real Time RT-PCR روی ژل آگارز



شکل ۱، نتایج تایید تکثیر *BIF-1* در بافت توموری بر روی ژل آگارز ۰/۲٪ (چاهک اول نشانگر وزنی و ۶-۷ بافت توموری و ۸ بافت سالم و ۱-۵ کنترل منفی) را نشان می‌دهد.

RNA با میزان دو برابر و یا بیشتر به عنوان افزایش بیان و بین $0/5$ و 2 برابر به عنوان نرمال و $0/5$ برابر و کم تر به عنوان کاهش بیان منظور گردید.

$$\Delta\Delta CT = [(CT_{BIF-1(tumor)} - CT_{\beta\text{-}ACTIN(tumor)}) - (CT_{BIF-1(normal)} - CT_{\beta\text{-}ACTIN(normal)})]$$

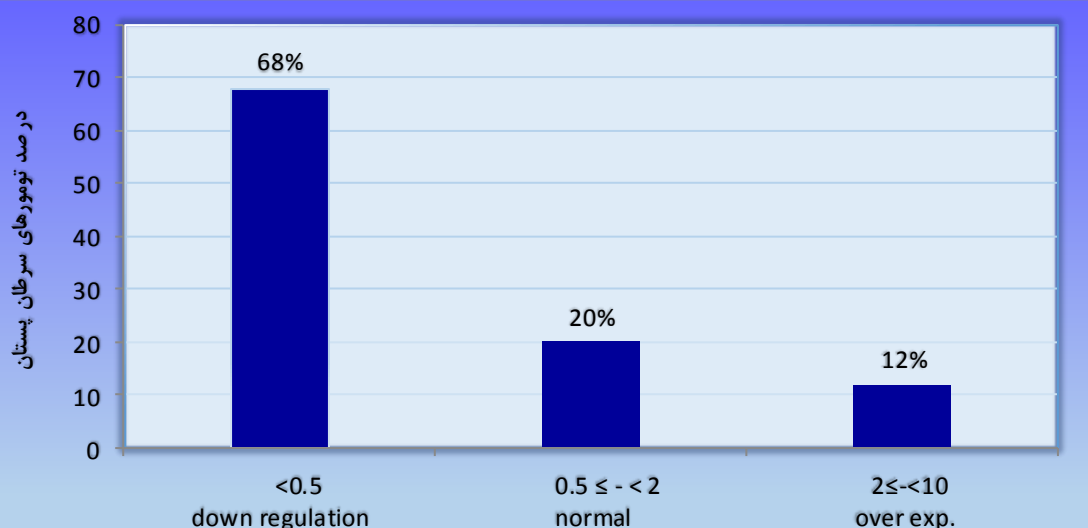
یافته های پژوهش:

همان طور که در نمودار ۱ مشخص است، نتایج حاکی از آن است که ژن *BIF-1* در 34 نمونه (68%) از مبتلایان به سرطان پستان در مقایسه با بافت نرمال کاهش بیان داشته این در حالی است که 16 نمونه (32% درصد) نمایانگر میزان بیان طبیعی این ژن و تنها 6 نمونه (12% درصد) افزایش بیان را نشان دادند. این اختلاف از نظر آماری معنی دار بود ($P=0.001$). پایین بودن میانگین بیان در بافت توموری نسبت به بافت نرمال اطراف تومور تأیید کننده عملکرد سرکوب گری تومور ژن *BIF-1* می باشد.

آنالیز داده ها

داده های خام حاصل از Real Time RT-PCR با استفاده از نرم افزار لینرگ تجزیه و تحلیل شد و کارآیی تکثیر و اعداد CT برای هر واکنش به دست آمد. CT threshold (cycle threshold) به تعداد سیکل هایی اطلاق می شود که لازم است تا سیگنال فلورسنت از سطح سیگنال زمینه یا threshold گذر کند. سطح CT با میزان نوکلئیک اسید هدف در نمونه نسبت عکس دارد، به عبارتی هر چه سطح CT کمتر باشد نمایانگر بالاتر بودن میزان اسید نوکلئیک هدف در نمونه است و بر عکس، سپس تغییرات بیانی ژن های مورد مطالعه با استفاده از خروجی لینرگ توسط نرم افزار REST بررسی شد. حدود اطمینان در تمامی آزمایشات 95% در نظر گرفته شد و $P < 0.05$ معنی دار محسوب گردید.

نسبت میزان بیان ژن ها: با استفاده از فرمول $2^{-\Delta\Delta CT}$ داده ها به صورت مضربی از میزان بیان ژن در شده و توسط ژن کنترل داخلی $\beta\text{-}ACTIN$ و در مقایسه با مجاور نرمال متوازن و تفسیر گردید. بیان



میزان بیان بصورت مضربی از بیان در بافت های گروه گنترل (نرمالایز شده با بتا اکتین)

نمودار ۱، بیانگر میزان بیان ژن *BIF-1* در تومور های پستانی مورد بررسی است. نمودار ۱، بررسی نتایج سنجش بیان ژن *BIF-1* در تومور های پستان: نتایج با استفاده از فرمول $2^{-\Delta\Delta CT}$ با ژن کنترل داخلی $\beta\text{-}ACTIN$ (نرمالایز گشته و در مقایسه با میانگین میزان بیان در بافت های نرمال کنترل محاسبه گردید.

وسیله مهار آپوپتوز به واسطه *BIF-1* نقش بازی کند (۱۶).

از طرفی تاکاهاشی و همکاران در سال ۲۰۰۷ در یک مطالعه نشان دادند که سرکوب *BIF-1* در موش باعث ترویج پیشرفت تومور می شود (۱۶). هم چنین کاپولا و همکاران در مطالعه بررسی بیان *BIF-1* در سرطان کولون، نشان دادند که ژن *BIF-1* در ۲۲/۵٪ از مبتلایان به سرطان کولون بیان نشده بود اما در همه نمونه های نرمال، بیان ژن *BIF-1* مشهود بود و این اختلاف از نظر آماری معنی دار بود ($P=0.002$) (۱۷). این یافته ها تایید کننده نتایج مطالعه حاضر است و در نهایت فعالیت سرکوب کنندگی *BIF-1* به وسیله افزایش آپوپتوزیس را تایید می کند.

یافته های حاصل از مطالعه حاضر نیز همسو با نتایج به دست آمده از مطالعه بررسی تغییر بیان این ژن بر روی بافت های سرطانی مختلف از جمله پروسات، معده و کولون می باشد.

با این حال نقش پیش آگهی دهنده کاهش بیان *BIF-1* در بسیاری از سرطان های حاد هنوز در هاله ای از ابهام است. علاوه بر این، فن و همکاران گزارش کردند که بیان *BIF-1* در سلول های سرطانی کبد نسبت به بافت نرمال اطراف تومور بالا تر بوده و این با درجه پایین تمایز و بقاء (Survival) مرتبط گزارش شد (۶). در مطالعه بیان *BIF-1* در سلول های سرطانی کبد نسبت به بافت نرمال اطراف تومور در بیماران مبتلا به سرطان کبد توسط فن و همکاران، مشاهده شد که بیمارانی که دارای شدت بالای بیان *BIF-1* بودند در مقایسه با بیمارانی که بیان *BIF-1* در آنها پایین گزارش شده بود، مدت زمان زنده ماندنشان کوتاهتر است و این خود بیانگر این موضوع است که میزان بیان *BIF-1* با زمان بقاء در ارتباط است (۱۸). این نتایج متناقض ممکن است به دلیل پیچیدگی عملکرد های بیو لوژیک ناشی از *BIF-1* باشد (۹).

متاسفانه مطالعات محدودی در زمینه بررسی کمی میزان بیان *BIF-1*/نجام شده است. در مطالعاتی هم که در رابطه با فعالیت *BIF-1* انجام شده است بعضی همهی گزارشات در یک راستا نبوده و نتایج ضد و نقیضی گزارش شده است. در رابطه با نقش بیان ژن

بحث و نتیجه گیری

سرطان، رشد کنترل نشده ای سلول هایی است که قادر به دریافت پیام توقف رشد نیستند؛ بنا بر این، مهم ترین هدف سلول های سرطانی تکثیر شدن است. سلول های نرمال دارای یک چرخه ای تقسیم، پیری و در نهایت انتخاب شدن برای مرگ هستند اما سلول های سرطانی قادرند این چرخه ای نرمال را کنار گذاشته و به رشد خود ادامه دهند. مکانیسم های زیادی وجود دارند که می توانند به رشد کنترل نشده ای سلول ها کمک کنند. یکی از این مکانیسم ها وراثت می باشد (۱۰).

برخی از افراد به دلیل اختلالات ژنتیکی مستعد ابتلاء به سرطان هستند. با این حال، وراثت تنها دلیل ایجاد این نا هنجاری های ژنتیکی نمی باشد. از آن جا که شرایط و محیط زندگی انسان ها به صورت استریل و عاری از هر گونه عوامل بیماری زا و حمله های محیطی نمی باشد، ممکن است ساختار ژنتیکی سلول ها در اثر عوامل محیطی نظیر تابش پرتو، مواد شیمیایی، مصرف الکل و غیره تحت تاثیر قرار گیرد (۱۱).

اختلال بیان ژن *BIF-1* در سلول های سرطانی، در مقایسه با بافت سالم مجاور، در بسیاری از انواع سرطان از جمله سرطان کولورکتال (۸)، پروسات (۱۲)، سرطان لوزالمعده (۱۳)، سرطان مهاجم مثانه (۱۴) و سرطان معده (۱۵) مشاهده شده است.

نتایج ما نشان داد که ژن *BIF-1* به طور معنی داری در ۶۸ درصد از نمونه های بافت تومور پستانی در مقایسه با بافت نرمال پستان دچار کاهش بیان می باشد.

برخی از محققین به نتایجی شبیه نتایج مطالعه حاضر دست پیدا کرده اند، به عنوان مثال در مطالعه ای برای اولین بار گزارش شد که پروتئین *BIF-1* در ۱۷٪ (۳۳/۱۹۲ بیمار) از کل مبتلایان به سرطان پروسات مورد بررسی از نظر بیان خاموش گزارش شد. این یافته ها نشان دهنده فعالیت سرکوب گری تومور و طرفدار آپوپتوز بودن *BIF-1* است (۹). کاهش بیان *BIF-1* در سلول های اپیتلیال در سرطان معده بدخیم در مقایسه با سلولهای مخاط نرمال نشان می دهد که از دست رفتن بیان *BIF-1* ممکن است در تومور زایی معده به

حساس استفاده شود، زیرا بیان ژن ها در نمونه های بالینی کمتر از رده های سلولی می باشد. با توجه به نتایج حاصل از این مطالعه، تغییرات بیانی ژن *BIF-1* را می توان به عنوان یک بیو مارکر احتمالی مرتبط با سرطان پستان معرفی کرد. مطالعات آتی در جهت بررسی ارتباط میزان بیان این ژن با خصوصیات هیستو پاتولوژی و بالینی بیمار در ادامه تحقیقات حاضر انجام خواهد شد.

سپاسگزاری

بدینوسیله از همکاری کلیه بیمارانی که از نمونه بافتی آنان در انجام این تحقیق استفاده شد و از سرکار خانم دکتر نفیسی جهت تأمین نمونه های بافتی بیماران تقدیر و تشکر به عمل می آید.

References

1. Alberg AJ, Singh S, May JW, Helzlsouer KJ. Epidemiology, prevention, and early detection of breast cancer. Current Opinion Oncol 1997; 9:505-11.
2. Fonsecasanchez MA, Rodriguezcuevas S, Mendoza Hernandez G, Bautistapina V, Arechaga Ocampo E, et al. Breast cancer proteomics reveals a positive correlation between glyoxalase 1 expression and high tumor grade. Int J Oncol 2012;41:670-80.
3. Harirchi I, Ebrahimi M, Zamani N, Jarvandi S, Montazeri A. Breast cancer in Iran a review of 903 case records. Public Health 2000;114:143-5.
4. Mousavi SM, Montazeri A, Mohagheghi MA, Jarrahi AM, Harirchi I, Najafi M, et al. Breast cancer in Iran an epidemiological review. Breast J 2013;13:383-91.
5. Artandi SE, Depinho RA. Telomeres and telomerase in cancer. Carcinogenesis 2010;31:9-18.
6. Ko YH, Seokcho Y, Won HS, An HJ, Sun DS, Hong SU, et al. Stage stratified analysis of prognostic significance of bax interacting factor-1 expression in resected colorectal cancer. Biomed Res Int 2013;2013:329839-46.
7. Runkle KB, Meyerkord CL, Desai NV, Takahashi Y, Wang HG. Bif-1 suppresses breast cancer cell migration by promoting EGFR endocytic degradation. Cancer Biol Therapy 2012;13:10,956-66.
8. Coppola D, Khalil F, Eschrich SA, Boulware D, Yeatman T, Wang HG. Down regulation of bax-interacting factor-1 in colorectal adenocarcinoma. Cancer 2008, 113:2665-70.
9. Cuddeback SM, Yamaguchi H, Komatsu K, Miyashita T, Yamada M, Wu C, et al. Molecular cloning and characterization of Bif-1 a novel Src homology 3 domain-containing protein that associates with bax. J Biol Chem 2001;276:20559-65.
10. Bishop MJ. The molecular genetics of cancer. Science 1987;235:305-11.
11. Coley HM. Mechanisms and strategies to overcome chemotherapy resistance in metastatic breast cancer. Cancer Treat Rev 2008; 34: 378-90.
12. Coppola D, Oliveri C, Sayegh Z, Boulware D, Takahashi Y, Pow-Sang J, Djem JY, Wang HG. Bax-Interacting Factor-1 expression in prostate cancer. Clin Genit Cancer 2008; 6:117-21.
13. Coppola D, Helm J, Ghayouri M, Malafa MP, Wang HG. Down-regulation of bax-interacting factor-1 in human pancreatic ductal adenocarcinoma. Pancreas 2011;40:433-7.
14. Kim SY, Oh YL, Kim KM, Jeong EG, Kim MS, Yoo NJ, et al. Decreased expression of bax-interacting factor-1 in invasive urinary bladder and gallbladder cancers. Pathology 2008;40:553-7.
15. Lee JW, Jeong EG, Soung YH, Nam SW, Lee JY, Yoo NJ, et al. Decreased expression of tumour suppressor bax-interacting factor-1 a bax activator in gastric carcinomas. Pathology 2013; 38:312-5.
16. Takahashi Y, Coppola D, Matsushita N, Cuiling HD, Sun M, Sato Y, et al. Bif-1 interacts with Beclin 1 through UVRAg and

در سرطان پستان اکثر مطالعاتی که در این زمینه صورت گرفته محدود به رده های سلولی سرطان پستان و نرمال بوده لذا در تحقیق حاضر بیان این ژن در بافت تومور و نرمال انسانی مورد بررسی قرار گرفت. راه های متعددی برای بررسی بیان ژن ها وجود دارد و اختلاف نظری هم که در گزارش های مختلف وجود دارد شاید به دلیل استفاده از روش های مختلف برای بررسی آن ها باشد. فقدان یک روش کمی مناسب برای تعیین میزان دقیق بیان ژن، مسئله مهمی است که باعث پدید آمدن اشکال در تفسیر داده ها می شود. روش های عمده بررسی بیان ژن ها عبارتند از: وسترن بلات، ایمونو هیستو شیمی، فلو سایتو مترا، RT PCR و Real Time RT-PCR. برای بررسی بیان ژن ها در نمونه های بالینی بیماران ضرورت دارد که از یک روش

- regulates autophagy and tumorigenesis. *Nature Cell Biol* 2007, 9:1142-51.
17. Coppola D, Khalil F, Eschrich SA, Boulware D, Yeatman T, Wang HG. Down regulation of bax-interacting factor-1 in colon cancer. *Cancer* 2008;113:2665-70.
18. Fan R, Miao Y, Shan X, Qian H, Song C, Wu G, et al. Bif-1 is overexpressed in hepatocellular carcinoma and correlates with shortened patient survival. *Oncol Let* 2012;3:851-4.

◆ BIF-1 Relative Gene Expression Study in Breast Cancer Tumor and Normal Adjacent Tissues using Real Time PCR

Mohammadi K¹, Salimi M^{2}, Angaji A¹, Mahjoubi F², Majidzadeh T²*

(Received: January 9, 2016 Accepted: July 11, 2016)

Abstract

Introduction: Breast cancer is a complex disease due to several biological levels of genetic and epigenetic changes that ultimately alter the cellular processes including proliferation, apoptosis, angiogenesis and the acquisition of an invasive phenotype results. BIF-1 (BAX interacting factor) is a tumor suppressor gene which is involved in the regulation of mitochondrial membrane bends and containing BAR domains that mediate interaction with BAX. The aim of this study was to investigate the relative gene expression differences of *BIF-1* in human breast tumor compared with normal adjacent tissues using Real-Time PCR method.

Materials & methods: This case-control study was implemented on 50 tumor and normal adjacent tissue samples of breast cancer patients. The patients had referred to Milad and Khatam hospitals in 2014. After collecting the samples, total RNA was extracted from tissue by TriPure RNA isolation kit. The cDNA was

synthesized from extracted RNA by Revert AID First strand cDNA synthesis kit. Finally the *BIF-1* gene expression was analyzed in tumor and normal adjacent tissues using SYBR green Real-Time PCR.

Findings: Our results indicated that *BIF-1* was down regulated in 34 breast cancer patients which was statically significant ($P=0.001$). This lower mean of *BIF-1* gene expression in tumor tissues compared with normal adjacent ones confirmed its role as a tumor suppressor gene.

Discussion & conclusions: Due to the significant difference in *BIF-1* gene expression in breast tumor and normal tissue, this gene may candidate as a possible biomarker related to breast cancer.

Keywords: Breast cancer, Gene expression, BIF-1, Real Time PCR

1. Dept of Cell and Molecular Biology, Faculty of Biological Sciences, Kharazmi University, Tehran, Iran

2. Dept of Medical Genetic, Institute of Medical Biotechnology, National Institute of Genetic Engineering and Biotechnology, Tehran, Iran

* Corresponding author Email:mkajaleh@gmail.com